1 2 3 4 5	UNIVERSIDADE FEDERAL DE MATO GROSSO FACULDADE DE MEDICINA VETERINÁRIA PROGRAMA DE RESIDÊNCIA UNIPROFISSIONAL EM MEDICINA VETERINÁRIA
6	
7	
8	
9	
10	
11	
12 13	HEMANGIOSSARCOMA MULTICÊNTRICO EM MEDULA ESPINHAL DE CÃO
14	
15 16 17	Autor: Paulo Victor Braga de Almeida Santos Orientadora: Profa. Arleana do Bom Parto Ferreira de Almeida
18 19 20 21 22 23 24 25 26	Trabalho de Conclusão de Curso apresentado ao Programa de Residência Uniprofissional em Medicina Veterinária, Clínica Médica em Animais de
27 28 29 30 31	Companhia, Hospital Veterinário da Universidade Federal de Mato Grosso.
32 33 34 35 36	CUIABÁ-MT 2019

3

4

5

6

7

8

9

# Dados Internacionais de Catalogação na Fonte.

B813h BRAGA DE ALMEIDA SANTOS, PAULO VICTOR.

HEMANGIOSSARCOMA MULTICÊNTRICO EM

MEDULA ESPINHAL DE CÃO / PAULO VICTOR BRAGA DE

ALMEIDA SANTOS. -- 2019

15 f.: il. color.; 30 cm.

Orientadora: Arleana do Bom Parto Ferreira de Almeida. TCC (especialização em Medicina Veterinária) - Universidade Federal de Mato Grosso, Faculdade de Agronomia e Medicina Veterinária, Residência Uniprofissional em Medicina Veterinária, Cuiabá, 2019.

Inclui bibliografia.

Hemangiossarcoma. 2. cão. 3. neoplasia. 4. medula espinhal.
 Título.

Ficha catalográfica elaborada automaticamente de acordo com os dados fornecidos pelo(a) autor(a).

Permitida a reprodução parcial ou total, desde que citada a fonte.



### MINISTÉRIO DA EDUCAÇÃO UNIVERSIDADE FEDERAL DE MATO GROSSO PRÓ-REITORIA DE ENSINO DE PÓS-GRADUAÇÃO

PROGRAMA DE RESIDÊNCIA UNIPROFISSIONAL EM MEDICINA VETERINÁRIA Avenida Fernando Corrêa da Costa, 2367 - Boa Esperança - Cep: 78060900 -CUIABÁ/MT Tel : +55 65 3615 8627

# FOLHA DE APROVAÇÃO

Título: "Hemangiossarcoma multicêntrico em medula espinhal de cão".

AUTOR: Médico Veterinário Residente Paulo Victor Braga de Almeida Santos

Monografia defendida e aprovada em 19/02/2019.

#### Composição da Banca Examinadora:

Presidente Banca / Orientadora Doutora

Arleana do Bom Parto Ferreira de Almeida

Instituição : UNIVERSIDADE FEDERAL DE MATO GROSSO

Examinador Interno

Doutora

Valéria Régia Franco Sousa

Instituição: UNIVERSIDADE FEDERAL DE MATO GROSSO

Examinador Interno

Doutor

Fernando Henrique Furlan Gouvêa

Instituição : UNIVERSIDADE FEDERAL DE MATO GROSSO

Examinador Suplente

Mestra

Eveline da Cruz Boa Sorte Ayres

Instituição: UNIVERSIDADE FEDERAL DE MATO GROSSO

1	Hemangiossarcoma multicêntrico em medula espinhal de cão
2	Multicenter hemangiiosarcoma in spinal cord of dog
3	
4	Paulo Victor Braga de Almeida Santos <sup>I</sup> , Ana Paula de Souza Borges <sup>II</sup> , Helen Cristina
5	Gomes de Lima <sup>I</sup> Fernando Henrique Furlan <sup>III</sup> , Pedro Eduardo Brandini Néspoli <sup>III</sup> , Valéria
6	Régia Franco Sousa <sup>III</sup> , Arleana do Bom Parto Ferreira de Almeida <sup>III</sup>
7	
8	- NOTA -
9	RESUMO
10	O hemangiossarcoma (HSA) é uma neoplasia maligna, agressiva, de origem mesenquimal que pode
11	surgir em um único sítio, atingir vários órgãos e desenvolver metástases ou apresentar-se de forma
12	multicêntrica. A abordagem deste estudo é um canino sem raça definida, de 10 anos de idade, que
13	deu entrada no setor de emergência da Universidade Federal de Mato Grosso, com queixa de
14	dispneia, tetraparesia ambulatorial, cianose e ataxia. Anemia e leucocitose foram demonstradas no
15	hemograma, e em radiografia constatou-se nódulos radiopacos com distribuição multifocal pelo
16	parênquima pulmonar, sugerindo neoplasia metastática e infecção fúngica, horas depois a dispneia
17	intensificou-se e o animal foi a óbito. Na análise histopatológica foi observado áreas multifocais
18	enegrecidas de 0,4cm de diâmetro no encéfalo, em região de córtex parietal com comprometimento

<sup>1</sup>Programa de Residência Uniprofissional em Medicina Veterinária (PRUMV), Universidade Federal de Mato Grosso (UFMT), 78060-900, Cuiabá, MT, Brasil.

da medula espinhal. O paciente aqui descrito apresentou sinais neurológicos que se referem ao

acometimento do hemangiossarcoma em diferentes níveis anatômicos do sistema nervoso central.

Palavras-chave: Hemangiossarcoma, cão, neoplasia, medula espinhal.

19

20

<sup>&</sup>lt;sup>II</sup> Programa de Pós-graduação em Ciências Veterinárias, Universidade Federal de Mato Grosso (UFMT), 78060-900, Cuiabá, MT, Brasil.

III Faculdade de Medicina Veterinária (FAVET), Universidade Federal de Mato Grosso (UFMT), Cuiabá, MT, Brasil. Email: arleferreira@gmail.com

#### **ABSTRACT**

Hemangiosarcoma (HSA) is one aggressive malignant neoplasm of mesenchymal origin that can arise in a single site, reach several organs and develop metastases or present in a way multicentric. The approach of this study is a10-year-old male canine that was eneterected the sectors to the emergency department of the Federal University of Mato Grosso, with dyspnea, outpatient tetraparesis, cyanosis and ataxia. 27 days before emergency care, the animal underwent a surgical procedure of breast tumor excision with diagnosis of breast adenocarcinoma. The animal underwent a procedure of blood collection and radiographic examination, where the dyspnea intensified. Anemia and leukocytosis were demonstrated on blood test. Radiography showed radiopaque nodules with multifocal distribution through the pulmonary parenchyma, suggesting metastatic neoplasia and fungal infection, hours later the dyspnea intensified and the animal died. Histopathological analysis showed blackish multifocal areas of 0.4 cm in diameter in the brain, in a parietal cortex region with spinal cord involvement. The patient described here presented neurological signs that refer to hemangiosarcoma involvement in different anatomical levels of the central nervous system.

**Key words:** Hemangiosarcoma, dog, neoplasia, spinal cord.

O hemangiossarcoma (HSA) é uma das formas mais letais do câncer observada na oncologia veterinária, pois se trata de uma neoplasia maligna, agressiva, de origem mesenquimal que pode surgir em um único sítio, ou vários órgãos e desenvolver metástases ou apresentar-se de forma multicêntrica. O HSA se origina no endotélio vascular e se desenvolve em qualquer tecido ou vaso sanguíneo. Os principais sítios de HSA canino são baço (50% a 65% dos cães acometidos),

seguido de átrio direito (3% a 25%), pele e tecidos subcutâneos (13% a 17%) e fígado (5% a 6%)

(IWATA et al., 2018).

As massas cutâneas são geralmente tratáveis pela excisão do tumor, porém os tumores viscerais são quase sempre incuráveis. Os sinais clínicos variam de acordo com o local do tumor primário e muitas vezes são inespecíficos, podendo ser observado mucosas pálidas, perda de peso progressiva, ascite, hemorragias espontâneas, trombocitopenia e coagulação intravascular disseminada (CID). Com base na aparência histológica, sabe se que o HSA é uma neoplasia maligna oriunda do endotélio vascular em qualquer órgão vascularizado, se dissemina de forma rápida pela via sanguínea ou linfática, e migra para maioria dos tecidos (CHAN et al., 2016; KIM et al., 2015). A metástase pode ser observada em até 80% dos pacientes no momento da apresentação clínica. O HSA pode se estender para o sistema nervoso central, mas apresenta raro acometimento na medula espinhal, tornando-se difícil a busca por relatos desta ocorrência (FILGUEIRA et al., 2012).

Nesse sentido, o presente trabalho tem como objetivo relatar um caso de hemangiossarcoma multicêntrico, com acometimento em medula espinhal, em canino atendido no Hospital Veterinário Universitário da cidade de Cuiabá, Mato Grosso.

Deu entrada no setor de emergência do Hospital Veterinário Universitário na cidade de Cuiabá, estado de Mato Grosso, um canino, macho, da raça Boxer, 10 anos de idade, com queixa de dispneia, tetraparesia ambulatorial, ataxia há dois dias e cianose. Segundo relato do proprietário, o paciente havia sido submetido a procedimento cirúrgico, para duas exéreses de tumores mamários, com diagnóstico de adenoma mamário há 27 dias.

No exame clínico foi observado dispneia, cianose e bradicardia (68bpm), murmúrios cardíacos de baixa intensidade, sem sinais de descompensação. Ainda apresentou ataxia e tetraparesia ambulatorial, ruídos pulmonares à ausculta e pulso fraco.

Diante do quadro clínico apresentado foi realizada coleta de sangue venoso para a realização de exames complementares como hemograma completo, bioquímica sérica renal e hepática (uréia, creatinina, alaninoaminotransferase e albumina) e sangue arterial para hemogasometria que revelaram linfopenia (0,5x10³/mm³) e trombocitopenia (160x 10³/μl), além de acidose metabólica descompensada (pH sanguíneo 7,2; PCO<sub>2(mmHg)</sub> 46; PO<sub>2 (mmHg)</sub> 90; HCO<sub>3(mmol/L)</sub> 14; BE<sub>(mmol/L)</sub> -9). A bioquímica sérica renal e hepática encontravam-se dentro da normalidade para a espécie. Imediatamente após a interpretação dos resultados de hemogasometria, o paciente foi submetido a fluidoterapia ringer com lactato com solução bicarbonato de sódio a 8,4%, 2mEq/kg. Administração de atropina na dose de 0,02mg/kg e aminofilina 8mg/kg, além de oxigenioterapia para estabilização do quadro (ADACHI et al., 2016).

Com a redução do quadro dispneico, o paciente foi encaminhado à exame radiográfico do tórax que constatou nódulos radiopacos com distribuição multifocal pelo parênquima pulmonar, sugerindo neoplasia metastática ou infecção fúngica (Figura 1). Apesar do tratamento emergencial instituído, o paciente foi à óbito por parada cardiorrespiratória em seis horas.

Mediante a autorização do tutor foi realizada a necropsia que revelou na análise macroscópica áreas multifocais fortemente avermelhadas e levemente elevadas, medindo aproximadamente 0,5 a 1,0cm de diâmetro em região abdominal. No tecido subcutâneo, região subcapsular dos rins, na serosa do intestino, no omento, fígado e baço, bem como linfonodos inguinais e pulmão (região de pleura e parênquima) haviam múltiplos nódulos arredondados, de coloração vermelho enegrecido, bem delimitados e macios, medindo 0,5 a 1,0cm de diâmetro. Em

coração, foi possível observar 5 ml de líquido viscoso em saco pericárdico. No encéfalo, segmento neuroanatômico diencefalo, porção mais cranial do tronco encefálico em região de córtex parietal, observou-se áreas multifocais enegrecidas de 0,4cm de diâmetro e em toda a extensão da medula espinhal, próximo ao canal ependimário, observou-se área de coloração enegrecida, medindo aproximadamente 0,2 x 0,2 cm.

Para a análise histopatológica, fragmentos dos órgãos supracitados foram colhidos e fixados em formol a 10%, processados rotineiramente e corados pela hematoxilina e eosina (HE) (ADACHI et al., 2016). As secções microscópicas de todos os órgãos apresentaram formações nodulares, pouco delimitadas, não encapsuladas e comprimiam as estruturas adjacentes. Essas nodulações eram compostas por células fusiformes alinhadas e depositadas sobre delicadas trabéculas de colágeno, formando uma malha composta por leitos vasculares, preenchidos por sangue, de tamanhos variados e anastomosadas (Figura 2). As células fusiformes caracterizavam-se por formato alongado, bordos distintos, citoplasma moderado e eosinofílico, núcleos irregulares arredondados a ovais, cromatina grumosa e nucléolo proeminente. O pleomorfismo celular era moderado e não foram observadas figuras de mitose (FOSMIRE et al., 2004).

Os rins apresentavam moderado espessamento de cápsula de Bowman, com áreas neoplásicas, degeneração leve do epitélio tubular e infiltrado linfoplasmocitário discreto, caracterizando glomerulonefrite membranosa moderada e nefrite crônica. O coração possuía a válvula atrioventricular esquerda espessa, opaca e esbranquiçada, região da válvula mitral com proliferação de tecido fibrocolagenoso e degeneração mixomatosa (endocardiose). No pulmão, em toda sua extensão, se observava áreas de proliferação neoplásica multifocalmente, presença moderada a acentuada de material amorfo eosinofílico no interior de alvéolos, e infiltrado de linfócitos, plasmócitos neutrófilos e macrófagos no interior de alvéolos, moderado a acentuado.

1 Por vezes, ocasionais áreas de confluência de septos alveolares (enfisema), sugerindo pneumonia

alveolar moderada crônica, com edema multifocal moderado e enfisema leve. Em fígado havia

áreas multifocais de proliferação neoplásica e depleção linfóide em baço.

Adicionalmente, na medula espinhal, adjacente à massa neoplásica, na substância branca, observou-se, em cortes transversais, hemorragia moderada multifocal (Figura 3) e áreas multifocais de moderada rarefação do parênquima (desmielinização) e dilatação acentuada dos axônios (esferoides), com elevada quantidade de células Gitter, e ocasionais áreas de gliose, confirmando o diagnóstico de hemangiossarcoma multicêntrico com acometimento por toda extensão da medula espinhal.

Apesar do hemangiossarcoma ser considerado uma neoplasia incomum (FILGUEIRA et al., 2012), o canino do presente relato apresentava a raça e idade descrita como de maior ocorrência pela literatura (PAEK et al., 2015). A dispneia apresentada pelo paciente reflete o acometimento pulmonar pelo tumor, além disso o quadro de bradicardia pode decorrer do comprometimento cardíaco, mas também do tumor infiltrativo na região selar do crânio possivelmente ocasionou o aumento da pressão intracraniana que, consequentemente, levou ao reflexo de Cushing, resultando em bradicardia, com o objetivo de manter o fluxo sanguíneo cerebral constante (BORDINI et al., 2018). O quadro de hipóxia apresentado pelo canino levou à acidose metabólica apresentada pelo paciente.

Ainda em exame clínico o paciente apresentou ataxia e tetraparesia ambulatorial, que pode ser justificada por alteração na função motora dos quatro membros associada à lesão cranial ao segmento medular T3 ou a uma desordem generalizada de Neurônio Motor Inferior. A tetraparesia ambulatorial, neste caso, que ocorreu de forma aguda é consistente com uma mielopatia por infiltração metastática da neoplasia distribuída em medula espinhal. As neoplasias da medula

espinhal intramedulares estão associadas a um curso clínico agudo e rapidamente progressivo e os sinais clínicos associados à disfunção da medula espinhal são comuns em cães com tumores metastáticos (SULLA et al., 2018)

No caso aqui descrito, o HSA foi considerado multicêntrico e os locais de apresentação das metástases do HSA foram similares aqueles descritos na literatura (GABOR et al., 2006; KIM et al., 2015). Com relação à metástase cerebral, pode-se inferir que também se deu por via hematógena, já que o sistema nervoso central apresenta déficit de drenagem linfática (FILGUEIRA et al., 2012). Apesar do diagnóstico de HSA ter sido realizado apenas durante a necropsia (sem suspeita anterior), ainda assim, pode-se associar a ataxia e tetraparesia como sendo uma das queixas de hemangiossarcoma, e principalmente pela invasão da medula espinhal, próximo ao canal ependimário. A principal alteração que ocorre nestes casos é a desmielinização e edema axonal (PINTO et al., 2014).

A importância deste relato se deve à localização pouco frequente do hemangiossarcoma no sistema nervoso central, podendo causar vários sinais neurológicos que se referem a diferentes níveis anatômicos. A necropsia, apesar de ser a última opção para fechar um diagnóstico, permitiu um maior esclarecimento sobre o caso descrito. O HSA tem uma capacidade altamente agressiva e generalizada, independentemente da localização do local primário. Por isso, deve sempre ser tratada como doença sistêmica. Os relatos de metástases tumorais em sistema nervoso central são importantes para fomentar a literatura.

### COMITÊ DE ÉTICA

Este trabalho descreve o caso clínico da rotina de Hospital Veterinário na cidade de Cuiabá

– e não fez parte de nenhum projeto, sendo apenas um relato de caso.

2

# DECLARAÇÃO DE CONFLITOS DE INTERESSE

3 Os autores declaram não haver conflito de interesse.

4

## 5 **REFERÊNCIAS**

- 6 ADACHI, M. et al. Immunohistochemical detection of a potential molecular therapeutic target for
- 7 canine hemangiosarcoma. **Journal of Veterinary Medical Science**, v. 78, n. 4, p.649-656, 2016.
- 8 Available from: <a href="http://dx.doi.org/10.1292/jvms.15-0625">http://dx.doi.org/10.1292/jvms.15-0625</a>. Accessed: Fev. 01, 2019. doi:
- 9 /10.1292/jvms.15-0625.
- BORDINI, C.G.G. et al. Tumor maligno da bainha perineural retrobulbar e intracraniano em cão:
- 11 relato de caso. Arquivo Brasileiro de Medicina Veterinária e Zootecnia, v. 70, n. 5, p.1355-
- 12 1361, 2018. Available from: <a href="http://dx.doi.org/10.1590/1678-4162-10350">http://dx.doi.org/10.1590/1678-4162-10350</a>>. Accessed: Fev. 01,
- 13 2019. doi: 10.1590/1678-4162-10350.
- 14 CHAN, C.M. et al. Primary nodal hemangiosarcoma in four dogs. Journal of The American
- 15 **Veterinary Medical Association**, v. 249, n. 9, p.1053-1060, 2016. Available from:
- 16 <a href="http://dx.doi.org/10.2460/javma.249.9.1053">http://dx.doi.org/10.2460/javma.249.9.1053</a>. Accessed: Jan. 28, 2019. doi:
- 17 10.2460/javma.249.9.1053
- 18 FOSMIRE, S.P. et al. Canine malignant hemangiosarcoma as a model of primitive angiogenic
- 19 endothelium. Laboratory Investigation, v. 84, n. 5, p.562-572, 2004. Available from:
- 20 <a href="http://dx.doi.org/10.1038/labinvest.3700080">http://dx.doi.org/10.1038/labinvest.3700080</a>. Accessed: Jan. 28, 2019. doi:
- 21 10.1038/labinvest.3700080

- 1 GABOR, L.J.; VANDERSTICHEL, R.V. Primary cerebral hemangiosarcoma in a 6 week old dog.
- 2 **Veterinary Pathology Online**, v. 43, n. 5, p. 782-784, 2006. Available from:
- 3 <http://dx.doi.org/10.1354/vp.43-5-782>. Accessed: Jan. 29, 2019. doi: 10.1354/vp.43-5-782
- 4 FILGUEIRA, K.D. et al. Hemangiossarcoma cutâneo com metástase no sistema nervoso central de
- 5 um canino. Acta Scientiae Veterinariae, v. 1024, n. 40, p.1-7, 2012. Available from:
- 6 <a href="http://www.ufrgs.br/actavet/40-1/PUB%201024.pdf">http://www.ufrgs.br/actavet/40-1/PUB%201024.pdf</a>>. Accessed: Jan. 29, 2019.
- 7 IWATA, M. Primary colonic hemangiosarcoma in a dog. The Canadian Veterinary Journal, v.
- 8 4, n. 59, p.373-378, 2018. Available from:
- 9 <a href="https://www.ncbi.nlm.nih.gov/pmc/articles/PMC5855291">https://www.ncbi.nlm.nih.gov/pmc/articles/PMC5855291</a>. Accessed: Jan. 29, 2019.
- 10 KIM, J. et al. Pathobiology of Hemangiosarcoma in Dogs: Research Advances and Future
- 11 Perspectives. Veterinary Sciences, v. 2, n. 4, p.388-405, 2015. Disponível em:
- 12 <a href="http://dx.doi.org/10.3390/vetsci2040388">http://dx.doi.org/10.3390/vetsci2040388</a>>. Accessed: Jan. 28, 2019. doi: 10.3390/vetsci2040388
- LORENZ, M.D. et al. **Neurologia veterinária.** 4.ed. Barueri: Manole, 2006. 467p.
- 14 PAEK, M. et al. Primary Lumbar Extradural Hemangiosarcoma in a Dog. Journal of The
- 15 American Animal Hospital Association, v. 51, n. 3, p.191-196, maio 2015. Disponível em:
- 16 <a href="http://dx.doi.org/10.5326/jaaha-ms-6139">http://dx.doi.org/10.5326/jaaha-ms-6139</a>>. Accessed: Jan 29, 2019. doi: 10.5326/jaaha-ms-6139
- 17 PINTO, C.B. et al. Complicações diagnósticas de dois casos neurológicos caninos: do atendimento
- 18 clínico à resolução final. **Sinapse Múltipla**, v. 1, n. 3, p.1-7, 01 jul. 2014. Disponível: <
- 19 http://periodicos.pucminas.br/index.php/sinapsemultipla/article/viewFile/5041/6716>. Accessed:
- 20 Jan. 29, 2019.
- 21 SULLA, I. et al. Spinal Cord Injuries in Dogs Part I: A Review of Basic Knowledge. Folia
- 22 **Veterinaria**, v. 62, n. 2, p.35-44, 2018. Available from: <a href="http://dx.doi.org/10.2478/fv-2018-10.24
- 23 0015>. Accessed: Jan. 28, 2019. doi: 10.2478/fv-2018-0015

WATABE, A. et al. Alterations of lymphocyte subpopulations in healthy dogs with aging and in dogs with cancer. Veterinary Immunology And Immunopathology, v. 142, n. 3-4, p.189-200, ago. 2011. Available from: <a href="http://dx.doi.org/10.1016/j.vetimm.2011.05.008">http://dx.doi.org/10.1016/j.vetimm.2011.05.008</a>>. Accessed: Jan. 27, 2019. doi: 10.1016/j.vetimm.2011.05.008 



Figura 1. Nódulos radiopacos com distribuição multifocal pelo parênnquima pulmonar, sugerindo
 neoplasia metastática pulmonar.

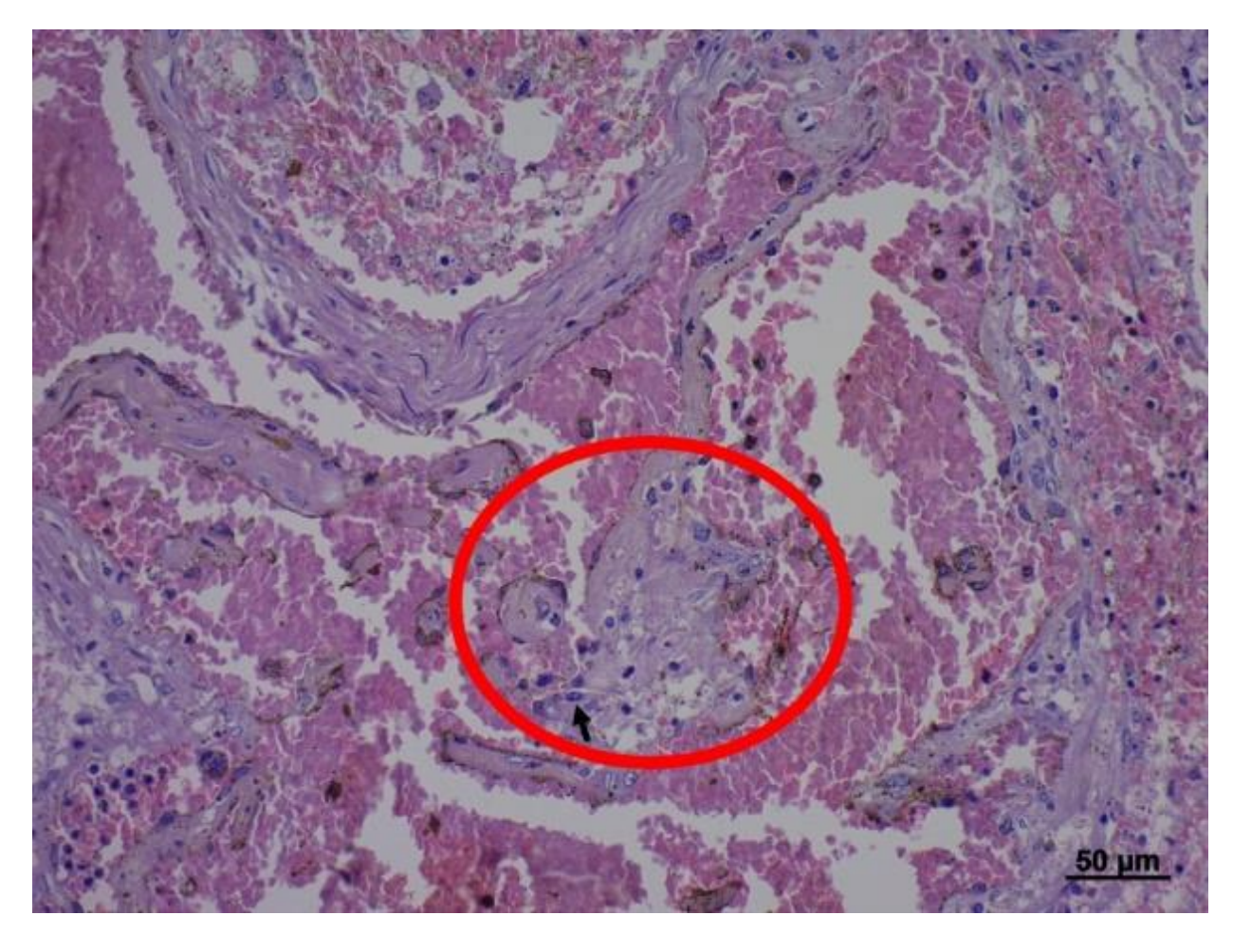


Figura 2. Seção histológica na região do canal ependimário de medula espinhal com proliferação neoplásica compatível com hemangiossarcoma.



Figura 3. Aspecto macroscópico da medula espinhal em cortes transversais demonstrando coloração enegrecida em todo segment da medula espinhal.